

بازسازی سه بعدی ریزساختار ناهمگن دو فازی بر اساس تک مقطع دو بعدی به کمک توابع همبستگی دو نقطه‌یی و الگوریتم بازیابی فاز

علی حسن آبادی* (دانشجوی دکتری)

مجید بنی‌اسدی (استادیار)

کارن ابری‌نیا (استاد)

دانشکده مهندسی مکانیک، دانشگاه تهران

مهندسی مکانیک شریف، پاییز ۱۳۹۶
دوری ۳ - ۳۳، شماره ۲، ص. ۱۱۵-۱۲۱

سه بعدی سازی ریزساختار و استخراج خواص، بر اساس اطلاعات مقاطع دو بعدی از موضوعات مورد توجه در طراحی ریزساختار است. در این پژوهش روشی جدید و قدرتمند برای بازسازی سه بعدی ریزساختار، تنها با استفاده از یک تک مقطع دو بعدی، ارائه می‌شود. پایه‌گذاری روش بر اساس توابع همبستگی است. در ابتدا توابع همبستگی برای مقطع مینا محاسبه و در ادامه این توابع برای سه بعد، تخمین زده می‌شود. سپس به کمک الگوریتم بازیابی فاز، بر اساس توابع همبستگی تخمین زده شده، ریزساختار سه بعدی بازسازی می‌شود. این روش برای ساختارهای غیرهمسانگرد به طور عرضی همسانگرد (مشابه مقاطع اکستروژده) نیز قابلیت استفاده دارد. پس از بازسازی سه بعدی، ضریب هدایت حرارتی مؤثر ریزساختار، بر اساس ضرایب هدایت حرارتی فازهای تشکیل دهنده محاسبه و با مقادیر مربوط به نمونه‌ی شاهد مقایسه می‌شود.

واژگان کلیدی: بازسازی سه بعدی، توابع همبستگی دو نقطه‌یی، الگوریتم بازیابی فاز، مواد ناهمگن دو فازی.

ali.hasanabadi@gmail.com
m.baniassadi@ut.ac.ir
cabrini@ut.ac.ir

۱. مقدمه

پایین‌ترین مرتبه‌ی توابع همبستگی، تابع یک نقطه‌یی است که عبارت است از احتمال تعلق یک نقطه‌ی تصادفی به یک فاز مشخص. این احتمال همان درصد حجمی فاز مفروض است و در آن اطلاعات مربوط به چیدمان هندسی ریزساختار وجود ندارد. مرتبه‌ی بالاتر توابع همبستگی که به صورت دو نقطه‌یی می‌باشد، عبارت است از احتمال تعلق دو سر یک بردار تصادفی، به فازهای مفروض. با بالا رفتن تعداد مراتب و نقاط در نظر گرفته شده، دقت توصیف ریزساختار بالاتر می‌رود و در نهایت با میل تعداد نقاط به بی‌نهایت، توصیف منحصر به فردی از ریزساختار ارائه می‌شود.^[۱۴، ۱۳، ۹] برای ریزساختارهای ویژه^۴، فولوود^[۱۵] ادعا کرده است که استفاده از توابع دو نقطه‌یی، توصیف منحصر به فردی از ریزساختار ارائه می‌کند. منظور از ریزساختارهای ویژه، ریزساختارهایی‌اند که هر نقطه (یا مکعب مفروض در حالت گسسته) فقط متعلق به یک فاز باشد.

بازسازی سه بعدی ریزساختار بر اساس مقاطع دو بعدی، به نوعی مهندسی معکوس ریزساختار بر اساس اطلاعات محدود است. کپی‌بیلیر^[۱۶] با استفاده از روش میدان تصادفی گاوسی توانست بر اساس مقاطع دو بعدی، خواص ساختار سه بعدی متخلخل را بررسی کند. سپس افرادی نظیر آدلر^[۱۷] و لئزینی^[۱۸] نیز با استفاده از روش میدان تصادفی گاوسی و استفاده از فیلترهای خطی و غیرخطی به بازسازی ریزساختار بر اساس اطلاعات محدود پرداختند.

برای عکس برداری دو بعدی از ریزساختار تکنیک‌های متنوعی وجود دارد انواع تکنیک‌های عکس برداری وجود دارد اما تهیه‌ی ریزساختار سه بعدی به طور مستقیم به کمک روش‌هایی نظیر توموگرافی به کمک اشعه‌ی ایکس یا اسکن سه بعدی به کمک لیزر، پرهزینه و وقت‌گیر است و به صرفه نیست.^[۱۹] از آنجا که وجود ریزساختار سه بعدی، اولین گام در تحلیل انواع خواص ریزساختار ناهمگن است نیاز به روشی که بتوان بر اساس مقاطع دو بعدی، ریزساختار سه بعدی را بازسازی کرد، اجتناب‌ناپذیر است. اولین گام در بازسازی ریزساختار، انتخاب روشی مناسب برای بیان و توصیف آن است. روش‌های متداول توصیف ریزساختار که عمدتاً به صورت آماری‌اند عبارت‌اند از: توابع همبستگی^۱ چند نقطه‌یی، توابع توصیف خوشه‌یی^۲، روش مسیر خطی^۳ و روش‌های دیگر که ترکاتو^[۴] به طور مفصل آنها بررسی کرده است. به دلیل قابلیت محاسبه‌ی توابع همبستگی به کمک سری فوریه و همچنین سازگاری آن با روش بازیابی فاز،^[۴] روش مورد استفاده در این پژوهش، توابع همبستگی چند نقطه‌یی به طور کلی و به طور خاص دو نقطه‌یی است. پژوهشگران توابع چند نقطه‌یی را به منظور بررسی انواع خواص ساختار به کار گرفته‌اند.^[۵-۱۲]

* نویسنده مسئول

تاریخ دریافت: ۱۳۹۵/۳/۳، اصلاحیه ۱۳۹۵/۶/۲۷، پذیرش ۱۳۹۵/۷/۴.

$$C_N^{i_1 \dots i_n} (x_1^i, x_2^j, \dots, x_N^n) = \langle \chi^i(x_1), \chi^j(x_2), \dots, \chi^n(x_N) \rangle, \quad (2)$$

$i, j, \dots, n \in \text{Set of Phases}$

علامت (...) به معنی میانگین‌گیری است. با این تعریف، تابع دو نقطه‌یی به صورت زیر تعریف می‌شود:

$$C_N^{ij} (x_1^i, x_2^j) = \langle \chi^i(x_1), \chi^j(x_2) \rangle, \quad (3)$$

$i, j, \dots, n \in \text{Set of Phases}$

این تعریف به این معنی است که برای محاسبه مقدار احتمال، باید تعداد زیادی بردار تصادفی که نقاط ابتدا و انتهای آنها با x_1^i و x_2^j مشخص شده‌اند برای فازهای i و j طبق معادله ۳ محاسبه شوند تا مقدار $C_N^{ij} (x_1^i, x_2^j)$ معلوم شود.

در ریزساختارهایی که به طور آماری همگن هستند، موقعیت مطلق نقاط مهم نیست و فاصله‌ی نسبی آنها که به صورت بردار \mathbf{r} بیان می‌شود، اهمیت دارد.

برای یک ریزساختار دو فازی، بسته به اینکه دو سر بردار مفروض در چه فازی قرار بگیرند، چهار نوع تابع همبستگی، به صورت $C_1^{11}, C_1^{12}, C_1^{21}, C_1^{22}$ قابل تصور است. این توابع از هم مستقل نیستند و روابط زیر بین آنها حاکم است: [۲۶]

$$\sum_{i=1}^n \sum_{j=1}^n C_1^{ij}(\mathbf{r}) = 1, \quad \mathbf{r} = x_2^j - x_1^i, \quad (4)$$

$$\sum_{j=1}^n C_1^{ij}(\mathbf{r}) = v_i, \quad (5)$$

$$C_1^{ij}(\mathbf{r}) = C_1^{ji}(-\mathbf{r}). \quad (6)$$

که v_i درصد حجمی فاز i است. بنابراین، برای بیان یک ریزساختار دوفازی تنها معلوم بودن یک تابع همبستگی کافی است و بقیه‌ی توابع، از روی آن معلوم خواهند شد.

همچنین شرایط مرزی موجود برای این توابع به صورت زیر است:

$$\lim_{x_2^j \rightarrow x_1^i} C_1^{ij} (x_1^i, x_2^j) = \begin{cases} v_i & \text{if } i = j \\ 0 & \text{if } i \neq j \end{cases}, \quad (7)$$

$$\lim_{(x_2^j - x_1^i) \rightarrow \infty} C_1^{ij} (x_1^i, x_2^j) = \begin{cases} v_i v_j & \text{if } i = j \\ v_i v_j & \text{if } i \neq j \end{cases}. \quad (8)$$

تعبیر معادله‌ی ۷ به این صورت است که با یکی شدن دو نقطه‌ی ابتدا و انتهای بردار، تابع دو نقطه‌یی به تک نقطه‌یی تبدیل می‌شود و مقدار احتمال نیز در صورتی که دو نقطه از یک فاز باشند برابر با درصد حجمی و در غیر این صورت صفر خواهد بود. معادله‌ی ۸ نیز به این معنی است که در حالتی که بردار بسیار بزرگ شود، دو نقطه‌ی ابتدا و انتهای آن به صورت مستقل از هم عمل خواهند کرد و مقدار احتمال دو نقطه‌یی برابر با حاصل ضرب مقادیر متناظر تک نقطه‌یی خواهد بود.

۲.۲. محاسبه‌ی توابع دو نقطه‌یی به کمک تبدیل فوریه

به منظور محاسبه‌ی توابع دو نقطه‌یی، برای یک بردار مفروض، کافی است تعداد زیادی از آن بردار را به طور تصادفی روی سطح مقطع ریزساختار مورد نظر انداخت و سپس مقدار تابع احتمال را از تقسیم تعداد بردارهایی که ابتدا و انتهای آنها در

یونگ و ترکاتو [۱۹] و نیز کیل و ترکاتو [۲۰] با استفاده از روش‌های بهینه‌سازی توانستند ریزساختار سه بعدی را بر اساس مجموعه‌هایی مشخص از توابع همبستگی دو بعدی بازسازی کنند. آنها با استخراج توابع همبستگی بر اساس مقطع دو بعدی و یکسان گرفتن آن برای حالت سه بعدی و استفاده از روش بهینه‌سازی بازبخت شبیه‌سازی شده [۲۱] توانستند این بازسازی را انجام دهند. بوچنک و پیرز [۲۱] نیز از روش آنیلینگ شبیه‌سازی شده به همراه تعدادی قید اضافی مربوط به مرزهای مشترک برای بازسازی بهتر استفاده کردند سانداراقاوان و زاباراس [۲۲] روش دیگری را بر مبنای پردازش تصویر و استفاده از توابع دونقطه‌یی و سه نقطه‌یی ارائه کردند. در این روش ابتدا تعداد زیادی از ریزساختارهای سه بعدی به صورت یک کتابخانه، فراهم و سپس توسط یک طبقه‌بندی‌کننده موسوم به SVM [۶] اجزای اصلی هر کدام استخراج می‌شود. سپس با ورود یک سطح مقطع جدید، بررسی می‌شود که توابع دونقطه‌یی و سه نقطه‌یی آن به کدام اجزا نزدیک است و بر این مبنای ریزساختار سه بعدی بازسازی می‌شود.

اخیراً بنی‌اسدی و همکاران [۲۳] بر اساس روش مونت کارلو روشی را برای بازسازی سه بعدی مواد ناهمگن چندفازی بر اساس مقاطع به دست آمده از میکروسکوپ الکترونی برای آند پیل سوختی ارائه کرده‌اند. در این روش ابتدا به کمک الگوریتم‌های رشد دانه‌ها، ریزساختار ایجاد و سپس با مقایسه‌ی توابع همبستگی مینا و ریزساختار ساخته شده، میزان خطا محاسبه و در باره‌ی ادامه‌ی الگوریتم یا توقف آن تصمیم‌گیری می‌شود.

در این پژوهش، در ادامه‌ی کار [۲۴] بازسازی سه بعدی ریزساختار تنها به کمک یک مقطع، بحث و بررسی می‌شود. با توجه به قابلیت روش، امکان بازسازی ریزساختارهای ناهمسانگرد به طور عرضی همسانگرد [۷] حتی به کمک یک مقطع نیز وجود دارد. بازسازی ریزساختار شامل دو مرحله‌ی اصلی است. در ابتدا توابع همبستگی دو بعدی بر اساس سطح مقطع مینا، محاسبه و سپس روشی برای تقریب توابع همبستگی برای کل فضای سه بعدی توسعه داده می‌شود. مرحله‌ی دوم، بازسازی ریز ساختار به کمک روش بازیابی فاز است. این روش که در اصل برای پردازش سیگنال ارائه شده است [۲۵] که فولود، [۱۵] به منظور بازسازی ریزساختار به کار برده است و در این پژوهش نیز به عنوان ابزار بازسازی، استفاده می‌شود. علاوه بر این، پس از بازسازی قابلیت محاسبه‌ی خواص مؤثر نیز وجود دارد که برای ضریب هدایت حرارتی مؤثر محاسبه و مقایسه‌ی نتایج صورت خواهد گرفت.

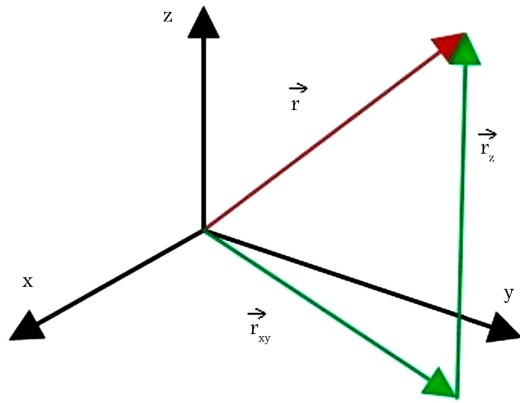
۲. توصیف ریاضی ریزساختار

۱.۲. توابع چندنقطه‌یی

اولین گام برای توصیف ریزساختار، گسسته‌سازی آن و سپس تعیین وضعیت تمام نقاط به کمک معادله‌ی مشخصه‌ی زیر است:

$$\chi^i(x) = \begin{cases} 1 & x \text{ in phase } i \\ 0 & \text{otherwise} \end{cases} \quad (1)$$

بر این اساس تابع همبستگی N نقطه‌یی که عبارت است از احتمال تعلق داشتن هم‌زمان N نقطه به فازهای از پیش تعیین شده، به صورت زیر تعریف می‌شود:



شکل ۲. تجزیه بردار مفروض بر صفحه و راستایی که مقادیر تابع در آنها معلوم است.

در صورتی که i و z یکسان باشند، معادله ۱۲ به معادله کلیدی زیر تبدیل می‌شود:

$$F_k^{ii} = \frac{1}{S} \hat{F}_k^i * F_k^i = \frac{1}{S} |F_k^i|^2 \Rightarrow |F_k^i| = \sqrt{S F_k^{ii}} \quad (13)$$

از این معادله می‌توان برای محاسبه مقادیر تابع همبستگی به صورت سریع و دقیق استفاده کرد. همچنین، این معادله ارتباط بین مقادیر دامنه تابع تک نقطه‌یی و تبدیل فوریه تابع دونقطه‌یی را برقرار می‌کند که مبنای روش الگوریتم بازیابی فاز است که در بخش ۳ توضیح داده خواهد شد.

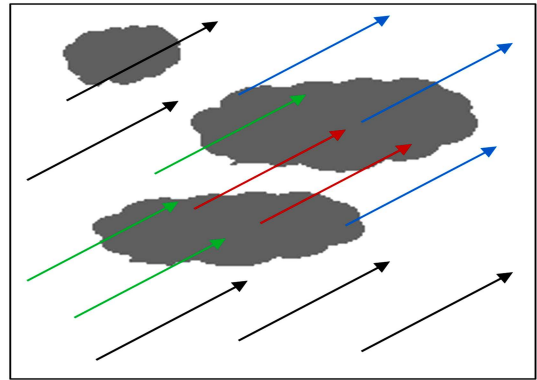
۳.۲. محاسبه کل توابع همبستگی المان حجمی نماینده

حسن‌آبادی و دیگران^[۱۲] ثابت کردند در صورتی که توابع همبستگی برای یک صفحه و راستای عمود بر صفحه معلوم باشند، می‌توان تقریبی از کل توابع همبستگی برای همه بردارهای المان حجمی نماینده به دست آورد. برای یک بردار مفروض \mathbf{r} کافی است مطابق شکل ۲ تصویر این بردار بر صفحه و عمود بر صفحه را به دست آورد. در این صورت تقریب تابع همبستگی بردار مفروض به صورت زیر خواهد بود:^[۱۴]

$$C_{\mathbf{r}}^{ii}(\mathbf{r}) \approx \frac{C_{\mathbf{r}_{xy}}^{ii}(\mathbf{r}_{xy}) C_{\mathbf{r}_z}^{ii}(\mathbf{r}_z)}{v_1} + \frac{C_{\mathbf{r}_{xy}}^{ii}(\mathbf{r}_{xy}) C_{\mathbf{r}_z}^{ii}(\mathbf{r}_z)}{1 - v_1} \quad (14)$$

۳. بازسازی به کمک الگوریتم بازیابی فاز

بازسازی ریزساختار به این معنی است که با در دست داشتن اطلاعاتی محدود، مثلاً تابع دونقطه‌یی ریزساختار، بتوان آن را مجدداً بازسازی کرد. در همه روش‌های مورد استفاده، ابتدا یک تابع هدف تشکیل می‌شود و با در نظر گرفتن یک سری قیود، مسئله به یک مسئله بهینه‌سازی تبدیل می‌شود، به این صورت که در ابتدا یک ریزساختار فرض و مقادیر تابع همبستگی محاسبه می‌شود و با مقدار اولیه مقایسه می‌گردد و بر اساس نوع الگوریتم، مجدداً ساختار تغییر و کار ادامه پیدا می‌کند تا الگوریتم به سطح قابل قبولی از خطا دست پیدا کند و در آنجا متوقف شود. روش‌های متنوعی در این زمینه استفاده می‌شود که از آن جمله می‌توان به روش بازپخت شبیه‌سازی شده^[۱۹]، روش‌های مبتنی بر گرادینت^[۲۷] روش میدان تصادفی گاوسی^[۲۸] و روش بازیابی فاز^[۱۵] اشاره کرد. روش بازیابی فاز که در این پژوهش نیز به کار گرفته شده است از نظر کارایی، دقت، و سرعت محاسبات، به ویژه در موارد ناهمسانگرد چندفازی بسیار بهتر از روش‌های بیان شده عمل می‌کند.^[۱۵]



شکل ۱. نحوه محاسبه مقادیر همبستگی با انداختن تعداد زیادی بردار و شمردن تعداد بردارهای مطلوب و تقسیم آن به تعداد کل بردارها.

فازهای مورد نظر هستند به تعداد کل بردارهای در نظر گرفته شده به دست آورد. مثلاً مطابق شکل ۱ اگر فاز خاکستری فاز ۱ در نظر گرفته شود $C_{\mathbf{r}}^{11}(\mathbf{r})$ از تقسیم تعداد بردارهای قرمز رنگ به تعداد کل بردارها به دست خواهد آمد. به همین صورت برای $C_{\mathbf{r}}^{12}(\mathbf{r})$ ، $C_{\mathbf{r}}^{21}(\mathbf{r})$ و $C_{\mathbf{r}}^{22}(\mathbf{r})$ رنگ‌های مشکی، آبی، و سبز بردارهای مربوطه را نمایش می‌دهند. این روش برای وضعیتی که ابعاد نمونه در نظر گرفته شده نسبت به طول بردار، بزرگ باشد، مناسب است. دقت مقادیر احتمال نیز به تعداد بردارهای انداخته شده بستگی خواهد داشت.

روشی که ادمز و دیگران^[۲] برای محاسبه مقادیر توابع همبستگی استفاده کرده‌اند مبتنی بر گسسته‌سازی فضا و استفاده از تبدیل فوریه و فرض متناوب بودن کل فضای ریزساختار با دوره تناوب «المان حجمی نماینده» است. المان حجمی نماینده، در واقع یک زیرفضا از کل فضای ریزساختار است که به عنوان نماینده کل فضا بررسی می‌شود.

به این منظور ابتدا کل فضا به S مکعب گسسته می‌شود و تابع مشخصه برای تمام مکعب‌ها، که هر مکعب با شماره x معلوم شده است، مشخص می‌شود. طبق معادله ۲ تابع تک نقطه‌یی C_1^i به صورت زیر محاسبه می‌شود:

$$C_1^i = \frac{1}{S} \sum_{x=0}^{S-1} \chi^i(x) \quad (9)$$

تبدیل فوریه گسسته معادله ۹ به صورت زیر است:

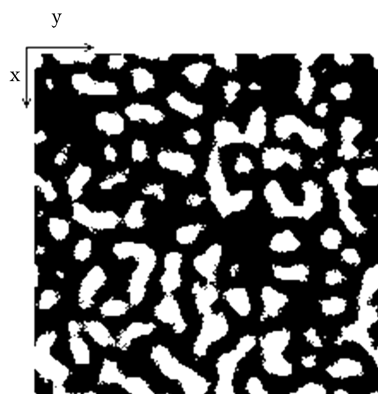
$$F_k^i = \mathcal{F}(\chi^i(x)) = \frac{1}{S} \sum_{x=0}^{S-1} \chi^i(x) e^{i\pi m x k / S} = \frac{1}{S} |F_k^i| e^{m\theta_k^i}, \quad m = \sqrt{-1} \quad (10)$$

که $|F_k^i|$ ، دامنه θ_k^i ، فاز تبدیل فوریه است. به همین صورت برای تابع دو نقطه‌یی، مقدار $C_{\mathbf{r}}^{ij}(\mathbf{r})$ به صورت زیر محاسبه می‌شود:

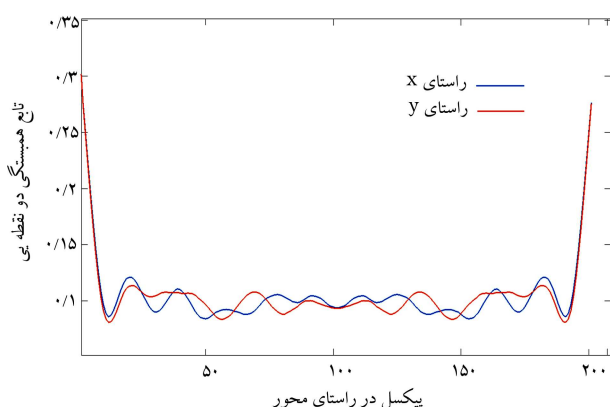
$$C_{\mathbf{r}}^{ij}(\mathbf{r}) = \frac{1}{S} \sum_{x=0}^{S-1} \chi^i(x) \chi^j(x + \mathbf{r}), \quad (11)$$

در اینجا x ، شماره هر مکعب و \mathbf{r} ، برداری است که تابع همبستگی برای آن محاسبه می‌شود. مشابه معادله ۱۰ تبدیل فوریه تابع دو نقطه‌یی با فرض متناوب بودن فضای ریزساختار به صورت زیر به دست می‌آید:^[۱۵]

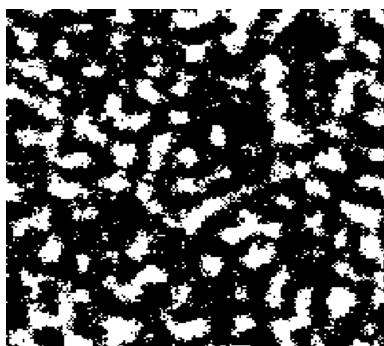
$$F_k^{ij} = \mathcal{F}(C_{\mathbf{r}}^{ij}(\mathbf{r})) = \frac{1}{S} |F_k^i| e^{-m\theta_k^i} |F_k^j| e^{m\theta_k^j} \quad (12)$$



شکل ۴. مقطع استفاده شده به عنوان مینا برای سه بعدی سازی ریزساختار.



شکل ۵. مشابهت توابع همبستگی ریزساختار همسانگرد در راستاهای مختلف (x, y) .

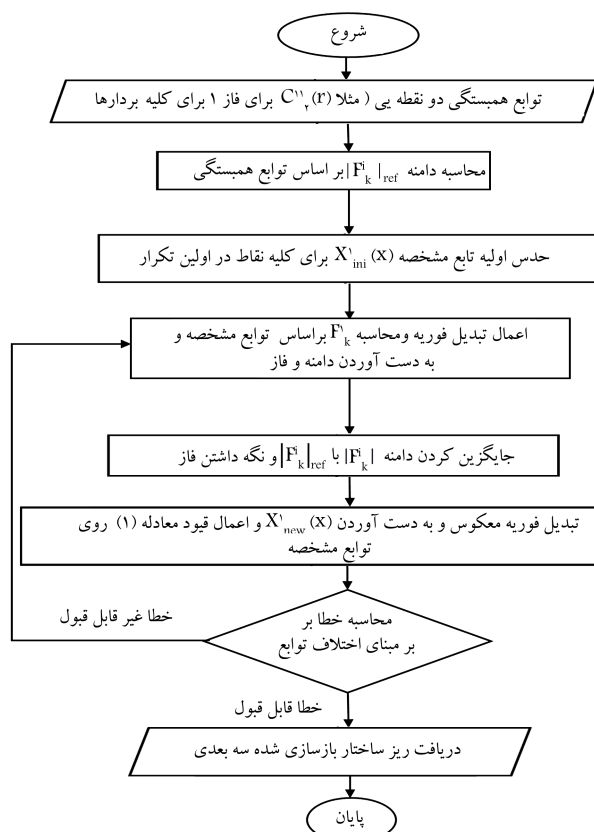


شکل ۶. مقطعی از ریزساختار بازسازی شده.

فلوچارت شکل ۳، ریزساختار سه بعدی بازسازی می شود. در شکل ۶ مقطعی از ریزساختار بازسازی شده و در شکل ۷ برشی سه بعدی از آن نمایش داده شده است.

۲.۴. محاسبه هدایت گرمایی مؤثر

برای محاسبه هدایت گرمایی مؤثر ریزساختار مورد بحث در بخش قبل در یک راستای دلخواه، دو صفحه‌ی متقابل عمود بر آن راستا، در دو دمای متفاوت T_1 و T_2 انتخاب می شود و بقیه‌ی سطوح، عایق فرض می شوند. با حل مسئله‌ی انتقال حرارت، میزان شار حرارتی در واحد سطح در آن راستا، q ، به دست می آید. با استفاده



شکل ۳. الگوریتم بازیابی فاز.

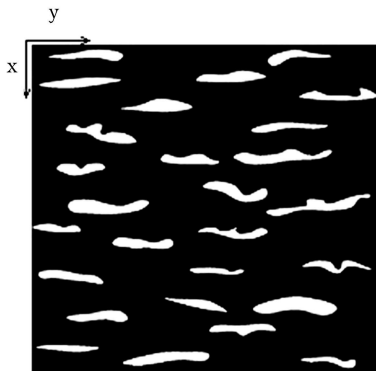
الگوریتم اولیه‌ی بازیابی فاز توسط گرچبرگ و ساکسون^[۲۵] به منظور پردازش سیگنال ارائه شده است. الگوریتم استفاده شده در این پژوهش مطابق با نسخه ارائه شده توسط فاین آپ^[۲۹] است (شکل ۳).

مطابق فلوچارت شکل ۳، الگوریتم با دریافت اطلاعات تابع همبستگی دوتقطه‌ی شروع می شود. در اولین گام مقادیر دامنه‌ی تبدیل فوری، $|F_k^i|_{ref}$ ، محاسبه می شود. سپس یک ریزساختار برای اولین گام حدس زده می شود و تبدیل فوری آن محاسبه می شود. در ادامه مقادیر دامنه با $|F_k^i|_{ref}$ ، جایگزین و مقادیر فاز حفظ می شوند. سپس تبدیل معکوس فوری گرفته می شود و قیود معادله‌ی ۱ روی مقادیر تابع مشخصه اعمال می شوند و این روند تا جایی ادامه پیدا می کند که مقدار خطا به میزان قابل قبولی برسد.

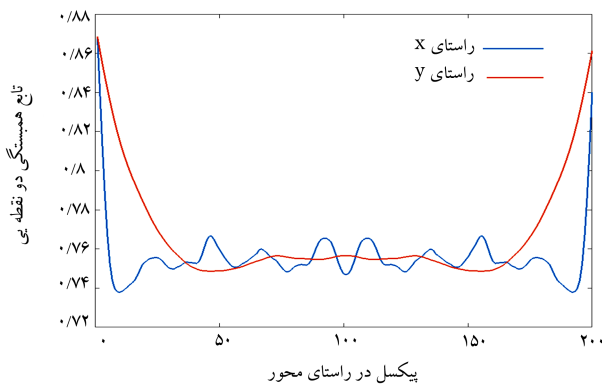
۴. نتایج

۱.۴. بازسازی ریزساختار همسانگرد

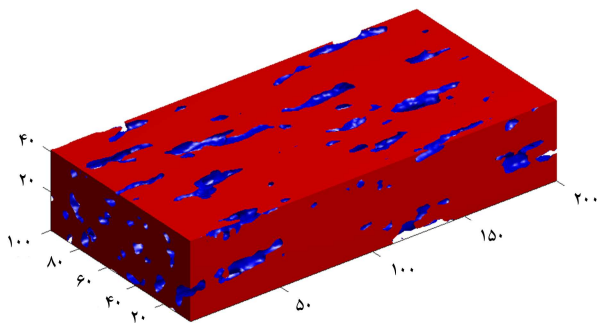
در شکل ۴ مقطعی از یک ریزساختار سه بعدی دو فازی همسانگرد با درصد حجمی فاز سفید برابر با $v_1 = 0.3$ با ابعاد $200 \times 200 \times 200$ پیکسل که به طور مصنوعی ایجاد شده، نشان داده شده است. مشاهده می شود که مطابق شکل ۵ مقادیر توابع همبستگی دوتقطه‌ی در راستای محورهای x و y تقریباً یکسان است. با توجه به همسانگردی موجود، فرض می شود مقادیر توابع همبستگی در راستای محور $(\vec{T}_{xy}) \approx (\vec{T}_z)$ نیز برابر با محور x یا y باشد. مقادیر توابع همبستگی در صفحه، (\vec{T}_{xy}) نیز با استفاده از مقطع موجود محاسبه می شوند. بنابراین، با استفاده از معادله‌ی ۱۴ کل توابع همبستگی، محاسبه و سپس با استفاده از الگوریتم بازیابی فاز، مطابق با



شکل ۸. مقطع طولی برای ریزساختار ناهمسانگرد به طور عرضی همسانگرد با ابعاد 200×200 و درصد حجمی $v_2 = 0.87$.



شکل ۹. مقادیر توابع همبستگی در راستای x و y برای فاز سیاه.



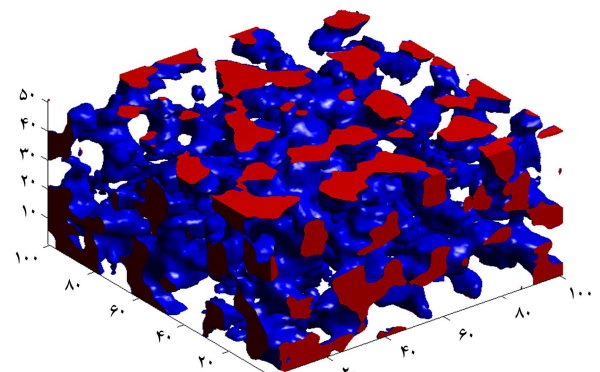
شکل ۱۰. زیرمجموعه‌یی از ریزساختار سه‌بعدی بازسازی شده با ابعاد $100 \times 100 \times 40$.

نظر گرفت و به کمک معادله‌ی ۱۴ مقادیر توابع همبستگی را برای کل المان حجمی نماینده به دست آورد.

مطابق با شکل ۳، با معلوم بودن توابع همبستگی برای کل المان حجمی، می‌توان بازسازی ریزساختار را انجام داد. شکل ۱۰، زیرمجموعه‌یی از ریزساختار بازسازی شده را نمایش می‌دهد.

جدول ۱. محاسبه‌ی ضریب هدایت حرارتی مؤثر برای نمونه‌ی شاهد و نمونه‌ی بازسازی شده.

درصد حجمی	ضریب هدایت مؤثر		ضریب هدایت حرارتی	
	نمونه شاهد	نمونه بازسازی شده	فاز سفید	فاز سیاه
$v_1 = 0.3$	$k_{eff-ori} = 0.628$	$k_{eff-rec} = 0.621$	$k_1 = 1$	$k_2 = 0.5$



شکل ۷. برشی به ابعاد $100 \times 100 \times 50$ پیکسل از فضای بازسازی شده.

از معادله‌ی ۱۵، مقدار ضریب هدایت حرارتی مؤثر، محاسبه می‌شود:

$$q = -k_{eff} (T_1 - T_2) \quad (15)$$

حدود بالا و پایین، به ترتیب بر اساس میانگین حسابی و هندسی ضریب به دست می‌آید. در صورتی که k_1 و k_2 مقادیر ضرایب هدایت فاز یک و دو و v_1 درصد حجمی فاز یک باشد، حد بالا و پایین از معادلات ۱۶ و ۱۷ به دست می‌آیند: [۳]

$$k_{eff_upp} = v_1 k_1 + (1 - v_1) k_2 \quad (16)$$

$$k_{eff_low} = (v_1/k_1 + (1 - v_1)/k_2)^{-1} \quad (17)$$

با استفاده از معادلات ۱۶ و ۱۷، با این فرض که ضریب هدایت حرارتی برای فاز یک برابر ۱ و برای فاز دو برابر ۰/۵ باشد، مقدار حد بالا $k_{eff_upp} = 0.65$ و مقدار حد پایین $k_{eff_low} = 0.59$ به دست می‌آید.

مقدار دقیق ضرایب هدایت حرارتی مؤثر به کمک نرم‌افزار Avizo Fire ۸/۱ محاسبه می‌شود. جدول ۱ میانگین مقدار ضریب هدایت حرارتی مؤثر در سه راستا را برای نمونه‌ی شاهد و نمونه‌ی بازسازی شده، نشان می‌دهد.

درصد خطای پایین بین مقادیر ضرایب هدایت حرارتی نمونه‌ی شاهد و نمونه‌ی بازسازی شده، نشان‌دهنده‌ی قدرت بالای روش پیشنهاد شده در بازسازی ریزساختار بر اساس اطلاعات محدود است. قابل ذکر است که بیشترین میزان خطا توسط معادله‌ی ۱۴ ایجاد می‌شود که میانگین مقدار آن برای نمونه‌های مختلف در حدود ۸ درصد است. [۳۴]

۳.۴. بازسازی ریزساختار ناهمسانگرد

برای ریزساختارهایی نظیر شکل ۸ که مقطع در دسترس مربوط به ماده‌ی ناهمسانگرد به طور عرضی همسانگرد است و این مقطع شامل محور تقارن و در راستای طول (y) است، بازسازی سه‌بعدی را می‌توان با یک مقطع نیز انجام داد. با توجه به ناهمسانگردی موجود در ریزساختار، مطابق شکل ۹ مقادیر توابع همبستگی در دو راستا از نظر میزان نوسانات و شکل تابع با هم فرق دارند. در این حالت می‌توان توابع همبستگی در راستای محور z را برابر با مقادیر نظیر در راستای محور x در

۵. نتیجه‌گیری

در این پژوهش بازسازی سه‌بعدی ریزساختارهای دوفازی ناهمگن همسانگرد و ناهمسانگرد به‌کمک روش بازیابی فاز و بر اساس مقاطع دوبعدی انجام گرفت. بازسازی با استفاده از توابع همبستگی دوتقطه‌یی مقاطع صورت پذیرفت به‌این‌صورت که ابتدا این توابع برای صفحه‌ی دوبعدی و محور عمود بر این صفحه، محاسبه و سپس برای فضای سه‌بعدی تقریب زده شد. همچنین، برای ریزساختارهای ناهمسانگرد به‌طور عرضی همسانگرد، در صورتی‌که مقطع مورد استفاده در راستای

محور تقارن ریزساختار (عمود بر صفحه‌ی همسانگرد) باشد، استفاده از یک مقطع برای بازسازی سه‌بعدی کافی خواهد بود. عمده خطای موجود در روش، در هنگام تقریب توابع همبستگی سه‌بعدی ایجاد می‌شود و میانگین این خطا در حدود ۸ درصد است. همچنین، کارایی روش بر اساس خواص نمونه‌ی شاهد و نمونه‌ی بازسازی‌شده بر اساس ضریب هدایت حرارتی مؤثر نیز بررسی شد که میزان خطا برای نمونه‌ی مورد بررسی حدود ۱/۸ درصد به دست آمد. در مواردی که این میزان خطا قابل قبول باشد می‌توان به نحو مؤثری از این روش برای سه‌بعدی‌سازی و سپس محاسبه‌ی خواص ریزساختار بر اساس داده‌های محدود دوبعدی استفاده کرد.

پانوشته‌ها

1. N-point correlation function
2. cluster function
3. lineal path method
4. eigen
5. simulated annealing
6. support vector machine (SVM)
7. transversely isotropic
8. representative volume element (RVE)

منابع (References)

1. Cronin, J.S., Chen-Wiegart, Y.-C.K., Wang, J., and Barnett, S.A. "Three-dimensional reconstruction and analysis of an entire solid oxide fuel cell by full-field transmission X-ray microscopy", *Journal of Power Sources*, **233**, pp. 174-179 (2013).
2. Talukdar, M.S. Torsaeter, O. Ioannidis, M.A. and Howard, J.J. "Stochastic reconstruction, 3D characterization and network modeling of chalk", *J. Petrol. Sci. Eng.*, **35**, pp. 1-21 (2002).
3. Torquato, S., *Random Heterogeneous Materials: Microstructure and Macroscopic Properties*, New York, Springer-Verlag (2002).
4. Adams, B.L., Kalidindi, S.R. and Fulwood, D.T., *Microstructure-Sensitive Design for Performance Optimization*, Waltham, MA 02451: Butterworth-Heinemann (2013).
5. Beran, M.J., *Statistical Continuum Theories, Monographs in Statistical Physics and Thermodynamics*, New York, Interscience (1968).
6. Kröner, E. "Bounds for effective elastic moduli of disordered materials", *Journal of the Mechanics and Physics of Solids*, **25**, pp. 137-155 (1977).
7. Torquato, S. and Stell, G. "Microstructure of two-phase random media. I. the n-point probability functions", *Journal of Chemical Physics*, **77**, pp. 2071-2077 (1982).
8. Torquato, S. and Stell, G. "Microstructure of two-phase random media. II. the mayer-montroll and kirkwood-salsburg hierarchies", *Journal of Chemical Physics*, **78**, pp. 3262-3272 (1983).
9. Torquato, S. "Effective stiffness tensor of composite media - I. exact series expansion", *Journal of the Mechanics and Physics of Solids*, **45**, pp. 1421-1448 (1997).
10. Saheli, G., Garmestani, H. and Adams, B.L. "Microstructure design of a two phase composite using two-point correlation functions", *Int. J. Comput. Aid Des.*, **11**, pp. 103-115 (2004).
11. Safdari, M., Baniassadi, M., Garmestani, H. and Al-Haik, M.S. "A modified strong-contrast expansion for estimating the effective thermal conductivity of multiphase heterogeneous materials", *Journal of Applied Physics*, **112**, pp. 114318-114318 (2012).
12. Rémond, Y., Ahzi, S., Baniassadi, M. and Garmestani, H., *Applied RVE Reconstruction and Homogenization of Heterogeneous Materials*, Great Britain: Wile-ISTE (2016).
13. Sheehan, N. and Torquato, S. "Generating microstructures with specified correlation function", *Journal of Applied Physics*, **89**, pp. 53-60 (2001).
14. Adams, B.L., Gao, X. and Kalidindi, S.R. "Finite approximations to the second-order properties closure in single phase polycrystals", *Acta Materialia*, **53**, pp. 3563-3577, (2005).
15. Fullwood, D.T., Niezgodna, S.R. and Kalidindi, S.R. "Microstructure reconstructions from 2-point statistics using phase recovery algorithms", *Acta Materialia*, **52**, pp. 942-948 (2008).
16. Quiblier, J.A. "A new three-dimensional modeling technique for studying porous media", *Journal of Colloid and Interface Science*, **98**, pp. 84-102 (1984).
17. Adler, P.M., Jacquin, C.G. and Quiblier, J.A. "Flow in simulated porous media", *International Journal of Multiphase Flow*, **16**, pp. 691-712 (1990).
18. Lanzini, A., Leone, P. and Asinari, P. "Microstructural characterization of solid oxide fuel cell electrodes by image analysis technique", *Journal of Power Sources*, **194**, pp. 408-422 (2009).

19. Yeong, C.L.Y. and Torquato, S. "Reconstructing random media II. three-dimensional media from two-dimensional cuts", *Physical Review E*, **58**, pp. 224-233 (1998).
20. Cule, D. and Torquato, S. "Generating random media from limited microstructural information via stochastic optimization", *Journal of Applied Physics*, **86**, pp. 3428-3428 (1999).
21. Bochenek, B. and Pyrz, R. "Reconstruction of random microstructures - a stochastic optimization problem", *Computational Materials Science*, **31**, pp. 93-112 (2004).
22. Sundararaghavan, V. and Zabarar, N. "Classification and reconstruction of three-dimensional microstructures using support vector machines", *Computational Materials Science*, **32**, pp. 223-239 (2005).
23. Baniassadi, M., Garmestani, H., Li, D.S., Ahzi, S., Khaleel, M. and Sun, X. "Three-phase solid oxide fuel cell anode microstructure realization using two-point correlation functions", *Acta Materialia*, **59**, pp. 30-43 (2011).
24. Hasanabadi, A., Baniassadi, M., Abrinia, K., Safdari, M. and Garmestani, H. "3D microstructural reconstruction of heterogeneous materials from 2D cross sections: A modified phase-recovery algorithm", *Computational Materials Science*, **111**, pp. 107-115 (2016).
25. Gerchberg, R.W. and Saxton, W.O. "A practical algorithm for the determination of phase from image and diffraction plane pictures", *OPTIK*, **35**, pp. 237-246 (1972).
26. Gokhale, A.M., Tewari, A. and Garmestani, H. "Constraints on microstructural two-point correlation functions", *Scripta Materialia*, **53**, pp. 989-993 (2005).
27. Fullwood, D.T., Kalidindi, S.R., Niezgoda, S.R., Fast, A. and Hampson, N. "Gradient-based microstructure reconstructions from distributions using fast Fourier transforms", *Materials Science and Engineering A*, **494**, pp. 68-72 (2008).
28. Jiang, Z., Chen, W. and Burkhart, C. "Efficient 3D porous microstructure reconstruction via Gaussian random field and hybrid optimization", *Journal of Microscopy*, **252**, pp. 135-148 (2013).
29. Fienup, J.R. "Reconstruction of an object from the modulus of its Fourier transform", *Optics Letters*, **3**, pp. 27-29 (1978).